

Р.В. Зайцев

МОДЕЛЮВАННЯ ВДОСКОНАЛЕНОГО ТЕПЛООБМІННОГО БЛОКУ З МІКРОКАНАЛАМИ ДЛЯ КОМБІНОВАНОЇ ФОТОЕНЕРГЕТИЧНОЇ УСТАНОВКИ

У роботі розглядаються особливості підбору теоретичного підґрунтя та математичне моделювання теплових процесів у теплообмінному блоці для комбінованої фотоенергетичної установки. За результатами моделювання проведено вдосконалення та розробку високоефективного теплообмінного блоку з мікроканалами. Апробація запропонованого блоку підтвердила його високу ефективність за рахунок реалізації турбулентного режиму протікання теплоносія. Використання такого теплообмінника дозволить підвищити якість і рівномірність охолодження сонячних батарей та зменшити витрати енергії на циркуляцію рідини. Бібл. 12, рис. 4.

Ключові слова: теплообмінний блок, теплоносій, сонячна батарея, комбінована фотоенергетична установка.

В работе рассматриваются особенности подбора теоретических основ и математическое моделирование тепловых процессов в теплообменном блоке для комбинированной фотоэнергетической установки. По результатам моделирования проведено совершенствование и разработка высокоэффективного теплообменного блока с микроканалами. Апробация предложенного блока подтверждает его высокую эффективность за счет реализации турбулентного режима протекания теплоносителя. Использование такого теплообменника позволит повысить качество и равномерность охлаждения солнечных батарей и уменьшить затраты энергии на циркуляцию жидкости. Библ. 12, рис. 4.

Ключевые слова: теплообменный блок, теплоноситель, солнечная батарея, комбинированная фотоэнергетическая установка.

Вступ. Світові тенденції розвитку енергетичного ринку та пов'язаного з цим зростання споживання природних енергетичних ресурсів переконливо показують необхідність пошуку додаткових джерел енергії, які змогли б компенсувати нестачу наявних ресурсів, а в ідеалі – повністю замінити їх. Як свідчить практичний досвід США, Японії, Німеччини, один із шляхів розв'язання цієї задачі, пов'язаний з перетворенням сонячної енергії в електричну енергію за допомогою напівпровідникових фотоелектричних перетворювачів (ФЕП).

Найбільш розповсюдженим типом ФЕП є приладові структури на основі моно- та полікристалічного кремнію товщиною до 200 мкм. Основною проблемою їх широкомасштабного використання є висока ціна електричної енергії яку вони виробляють, що обумовлено високою матеріало- та енергоємністю технологічного процесу виготовлення. Для зниження ціни ФЕП перспективним є використання систем, які працюють в умовах концентрованого сонячного випромінювання. Використання дзеркал дозволяє в сотні разів знизити витрати ФЕП. Проте застосування ФЕП на основі кремнію традиційної конструкції при концентрованому сонячному випромінненні призводить до зниження ККД на порядок [1, 2]. В той же час використання багатоперехідних кремнієвих ФЕП з вертикальними діодними комітками з підвищенням інтенсивності сонячного опромінення демонструє підвищення ККД [3, 4].

Розроблена раніше [5] фотоенергетична установка на основі багатоперехідних кремнієвих ФЕП з вертикальними діодними комітками або з ФЕП на основі арсеніду галію, яка має систему позиціонування та управління, що дозволяє збільшити кількість світлової енергії, що надходить на поверхню енергетичної установки, має багато переваг. Така фотоенергетична установка буде виробляти не тільки електричну енергію, а й теплу воду. Але поряд із цим, виявилися суттєві недоліки щодо рівномірного

охолодження встановлених ФЕП, котрі потребували окремого вирішення [6-8]. У статті використовуються загальноприйняті позначення [9, 10].

Мета роботи – проведення математичного моделювання основних параметрів теплообмінного блоку для фотоенергетичної установки на основі загальних моделей теплообміну при примусовій циркуляції рідини.

1. Методика дослідження. Згідно з загальними стандартними вимогами до фотоенергетичних установок для роботи з промисловим обладнанням вихідна напруга сонячної батареї (СБ) повинна становити не більше $U_{NM} = 48$ В; струм навантаження – $I_{NM} = 10.4$ А; електрична потужність, що СБ віддає у навантаження – P_{NM} до 500 Вт. Звідси, при $S_{SB} \approx 100$ см² можна розрахувати, питому електричну потужність P_{NM} , яку має віддавати у навантаження 1 см² такої СБ і котра дорівнює 5 Вт/см². Однак, поряд із цим, при максимально можливому ККД ФЕП, наприклад на основі арсеніду галію, на рівні 30 %, для забезпечення необхідних параметрів на поверхню СБ має надходити світло з питомою потужністю не менше 16,7 Вт/см². А отже потужність 11,7 Вт/см² буде надлишковою і надходитиме до СБ та теплообмінника у вигляді теплової енергії, що призводитиме до суттєвого і швидкого перегрівання СБ.

Площа апертури дзеркал системи, що концентрує, $S_a \approx 2.4$ м². При потужності сонячного випромінювання $P_s = 1000$ Вт/м² енергія, яка надходить на цю площу $Q_s = 2396$ Вт. За рахунок обрання більш якісного матеріалу для дзеркал, частка енергії, що надходить до фотоприймальної пластини після врахування коефіцієнта відбиття від дзеркал ($r_z = 0.95$), а також процесів відбиття та поглинання в системі пластини – скло, яка враховує поглинаючу здатність (τ_a) [9], маємо $Q_{s1} = r_z Q_s$ (τ_a) = 1761 Вт (це відповідає ефективному коефіцієнту концентрації $K_{eff} = 386$). Після перетворення частки цієї енергії в електричну енергію з коефіцієнтом корисної дії $\eta = 30$ %, що дає $Q_{s2} = 528$ Вт

© Р.В. Зайцев

електричної енергії, в теплову енергію переходить $Q_{s3} = Q_{s1}(1-\eta) = 1233$ Вт.

Для визначення коефіцієнту теплопередачі при заданій температурі теплоносія і температурі поверхні, що обтікається, необхідно визначити градієнт температури на стінці теплообмінника. Градієнт температури можна визначити з рішення рівняння енергії, котре в свою чергу залежить від розподілу швидкості потоку в області протікання, що розглядається. В загальному вигляді вирішення задачі конвективного теплообміну для протікання рідини вздовж площини зводиться до вирішення наступної системи диференціальних рівнянь (1) [9]

$$\begin{cases} \frac{1}{\rho} \frac{\partial \rho}{\partial \tau} + \frac{\partial w_x}{\partial x} + \frac{\partial w_y}{\partial y} = 0; \\ \frac{\partial w_x}{\partial \tau} + w_x \frac{\partial w_x}{\partial x} + w_y \frac{\partial w_x}{\partial y} = \frac{\mu}{\rho} \left(\frac{\partial^2 w_x}{\partial x^2} + \frac{\partial^2 w_x}{\partial y^2} \right) - \frac{1}{\rho} \frac{\partial \rho}{\partial x} + g_x; \\ \frac{\partial w_y}{\partial \tau} + w_x \frac{\partial w_y}{\partial x} + w_y \frac{\partial w_y}{\partial y} = \frac{\mu}{\rho} \left(\frac{\partial^2 w_y}{\partial x^2} + \frac{\partial^2 w_y}{\partial y^2} \right) - \frac{1}{\rho} \frac{\partial \rho}{\partial y} + g_y; \\ \frac{\partial T}{\partial \tau} + w_x \frac{\partial T}{\partial x} + w_y \frac{\partial T}{\partial y} = \frac{\lambda}{\rho c_p} \left(\frac{\partial^2 T}{\partial x^2} + \frac{\partial^2 T}{\partial y^2} \right); \\ p = \rho RT. \end{cases} \quad (1)$$

Така система рівнянь в загальному вигляді не піддається аналітичному вирішенню, тому розглядаються окремі випадки.

1.1. Тепловіддача при русі рідини в прямих гладких трубах. При русі рідин і газів в трубах і каналах існують ламінарний ($Re_{fd} \leq 2300$), турбулентний ($Re_{fd} \geq 10^4$) і перехідний від ламінарного до турбулентного ($2300 < Re_{fd} < 10^4$) режими течії рідини.

Визначальні параметри для розрахунку критерію Рейнольдса: $T_0 = T_f = 0,5 \cdot (T_{f,in} + T_{f,out})$ – середня температура рідини в трубі; $R_0 = d_{in}$ – внутрішній діаметр труби; $w_0 = G/(\rho \cdot f)$ – середня по перерізу труби швидкість руху рідини.

1.1.1. Тепловіддача при ламінарному режимі руху рідини в трубах ($Re \leq 2300$). Тепловіддача в трубах при стабілізованому перебігу і стабілізованому теплообміні може бути розрахована при $T_w = \text{const}$ і при $q_w = \text{const}$ за наближеною формулою [9]:

$$Nu = 4\varepsilon_t, \quad (2)$$

де поправку ε_t розраховують за формулою

$$\varepsilon_t = \left(\frac{Pr_f l}{Pr_w} \right)^{0.25}. \quad (3)$$

При ламінарному режимі руху в прямих гладких трубах і наявності ділянок гідродинамічної та теплової стабілізації для більш точної апроксимації експериментальних даних виділяють два підрежими: ламінарний в'язкістний і ламінарний в'язкістно-гравітаційний. Ламінарний в'язкістний режим течії має місце при числах Релея $Ra < 8 \cdot 10^5$, а ламінарний в'язкістно-гравітаційний режим при $Ra \geq 8 \cdot 10^5$.

Тепловіддача при ламінарному в'язкістному режимі руху рідини в трубах ($Re \leq 2300$; $Ra < 8 \cdot 10^5$). Середній по внутрішній поверхні труби довжиною l коефіцієнт теплопередачі розраховують за формулою, яка отримана при $l/(Re \cdot d) \leq 0,05$ і $0,07 \leq \mu_w / \mu_f \leq 1500$ [5]:

$$Nu = 1,55(Re \cdot d_{in} / l)^{1/3} \cdot (\mu_f / \mu_w)^{0,14} \cdot \varepsilon_t. \quad (4)$$

Величина ε_t поправки, що враховує вплив на тепловіддачу гідродинамічної стабілізації потоку на початковій ділянці теплообміну:

– при:

$$\frac{l}{Re \cdot d} < 0,1 - \varepsilon_t = 0,6 \left(\frac{l}{Re \cdot d} \right)^{-\frac{1}{7}} \left(1 + 2,5 \frac{l}{Re \cdot d} \right), \quad (5)$$

– при:

$$l/(Re \cdot d) < 0,1 - \varepsilon_t \approx 1. \quad (6)$$

Тепловіддача при ламінарному в'язкістно-гравітаційному режимі руху текучого середовища в трубах ($Re \leq 2300$; $Ra < 8 \cdot 10^5$). Середній коефіцієнт теплопередачі при ламінарному в'язкістно-гравітаційному режимі течії може бути розрахований по критерійному рівнянню М. А. Міхєєва [10]:

$$Nu = 0,15 \cdot Re_{f,d}^{0,33} \cdot Pr_f^{0,33} \cdot (Gr_{f,d} \cdot Pr_f)^{0,1} \cdot \varepsilon_t \cdot \varepsilon_l. \quad (7)$$

Поправочний коефіцієнт, ε_l що враховує вплив на тепловіддачу процесу гідродинамічної стабілізації потоку на початковій ділянці теплообміну дорівнює:

– при $l/d < 50$ значення ε_l знаходять за експериментальними даними [6];

– при $l/d \geq 50 - \varepsilon_l = 1$.

1.1.2. Тепловіддача при турбулентному режимі руху рідини в трубах ($Re \geq 10^4$). Середній коефіцієнт теплопередачі при турбулентному протіканні рідини в прямих гладких трубах розраховують за формулою М. А. Міхєєва [10]:

$$Nu_{f,d} = 0,021 \cdot Re_{f,d}^{0,8} \cdot Pr_f^{0,43} \cdot \varepsilon_t \cdot \varepsilon_l. \quad (8)$$

Поправочний коефіцієнт ε_l , що враховує вплив на тепловіддачу процесу гідродинамічної стабілізації потоку на початковій ділянці теплообміну дорівнює:

– при $l/d < 50 - \varepsilon_l \approx 1 + 2d/l$;

– при $l/d \geq 50 - \varepsilon_l = 1$.

Значення ε_l в залежності від критерію Рейнольдса наведено у [9].

1.1.3. Тепловіддача при перехідному режимі руху рідини в трубах ($2300 < Re < 10^4$). Перехідний режим течії характеризується змішуванням ламінарної і турбулентної течій. У цьому випадку коефіцієнт теплопередачі можна розрахувати за формулою [10]:

$$Nu_{f,d} = K_0 \cdot Pr_f^{0,43} \cdot \varepsilon_t \cdot \varepsilon_l, \quad (9)$$

де комплекс K_0 залежить від числа Рейнольдса [10], а поправку ε_l розраховують також як і при турбулентному режимі течії рідини.

1.2. Тепловіддача при русі рідини в каналах довільного поперечного перерізу. Всі вищенаведені критеріальні формули для розрахунку теплопередачі в круглій трубі застосовані і для розрахунку коефіцієнта теплопередачі при протіканні рідин і газів в каналах іншої (не круглій) форми поперечного перерізу (прямокутної, трикутної, кільцевої і т.д.), при повздовжньому омиванні пучків труб, укладених в канал довільного поперечного перерізу, а також під час руху рідини, що не заповнює всього перерізу каналу. При цьому в якості характерного розміру слід застосовувати еквівалентний або гідравлічний діаметр каналу:

$$R_0 = d_{ekv} = d_r = 4f / P, \quad (10)$$

де f – площа поперечного перерізу потоку, m^2 ,
 P – змочений периметр каналу, m .

1.3. Тепловіддача при турбулентному русі рідини в вигнутих трубах. При русі рідини в вигнутих трубах (колінах, змійовиках) відбувається його додаткова турбулізація і, як наслідок, збільшення коефіцієнта тепловіддачі [11]. Для розрахунку тепловіддачі в вигнутих трубах необхідно помножити число Нуссельта на поправочний коефіцієнт:

$$\varepsilon_g = 1 + 1.8 \cdot d_{in} / R_g, \quad (11)$$

де d_{in} – внутрішній діаметр труби, а R_g – радіус вигину.

2. Результати досліджень та їх обговорення.

Як було показано раніше [5] для досягнення прийнятних температур СБ необхідно підвищити інтенсивність теплообміну. Для цього можна використати або збільшення площі теплообміну за рахунок використання радіатора, або спробувати використати турбулентний потік охолоджувача для збільшення коефіцієнту теплообміну [12].

На основі запропонованого теоретичного обґрунтування було розглянуто два варіанти конструкції, які схематично зображено на рис. 1. Конструкція зображена на рис. 1,а має велику площу теплообмінника, а конструкція, зображена на рис. 1,б має великий коефіцієнт теплообміну при площі теплообмінника, близькій до площі теплоприймальної пластини.

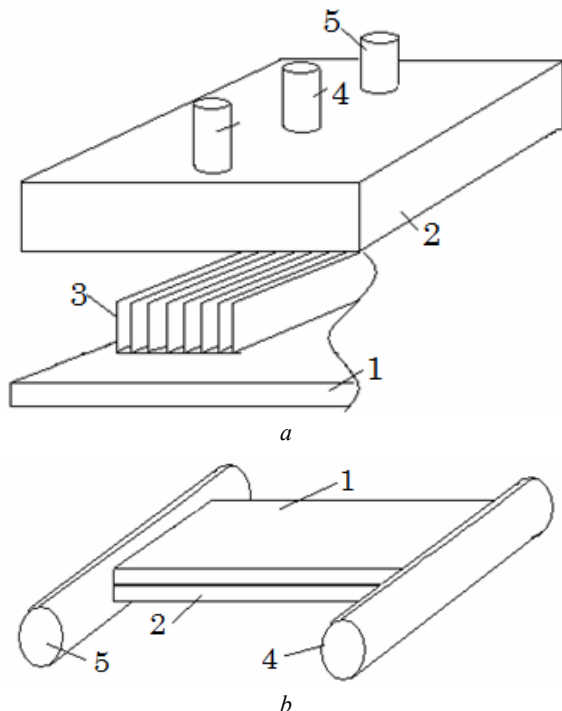


Рис. 1. Схематичне зображення конструкцій блоку охолодження з пластинковим радіатором (а) та прямокутним з малою шириною щілини між пластинами (б): 1 – кришка блоку охолодження, 2 – корпус блоку охолодження, 3 – пластини радіатора, 4 – трубка подачі охолоджувача, 5 – трубка виведення охолоджувача

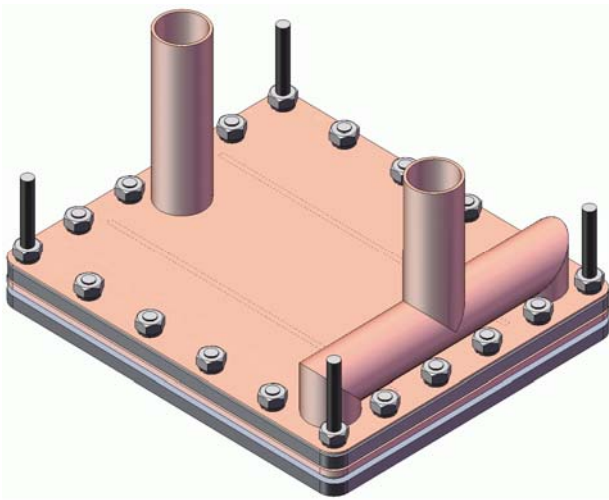
Для розрахунку теплообмінного блоку з радіатором з великою площею теплообмінної поверхні (рис. 1,а) було в якості моделі обрано промисловий мідний

радіатор, який використовується для охолодження елементів комп’ютерних схем. Він має наступні розміри: $91 \times 91 \times 25$ мм, 56 пластин, відстань між якими складає 1 мм, тобто маємо 55 каналів протікання води з поперечним перетином 1×20 мм (враховуючи товщину верхньої пластини 5 мм), але при центральній подачі води ефективно маємо 110 каналів. При витратах охолоджувача (води) в першому замкнутому контурі 10 л/хв (0,016 кг/с) швидкість потоку (w) в проміжках між пластинами складає 0,0682 м/с. При середній температурі охолоджуючої води $\sim 50^\circ C$ кінематична в’язкість води $\nu = 0,556 \cdot 10^{-6} m^2/s$. Враховуючи ефективний діаметр $d_e = 1,9 \cdot 10^{-3} m$ одержимо число Рейнольдса $Re = wd_e/\nu = 234$, що відповідає ламінарному потоку. Розрахувавши числа Грасгофа (495) і Релея (1752) визначаємо, що в обраному радіаторі при вказаних витратах охолоджувача реалізується ламінарно-в’язкий режим протікання потоку. Розрахунок коефіцієнту теплообміну між теплоносієм та пластинами радіатора дає $Nu = 1838 \text{ Вт}/(m^2 \cdot K)$, що недостатньо для ефективного відведення тепла, а такий теплообмінник не може бути використано в фотоенергетичній установці.

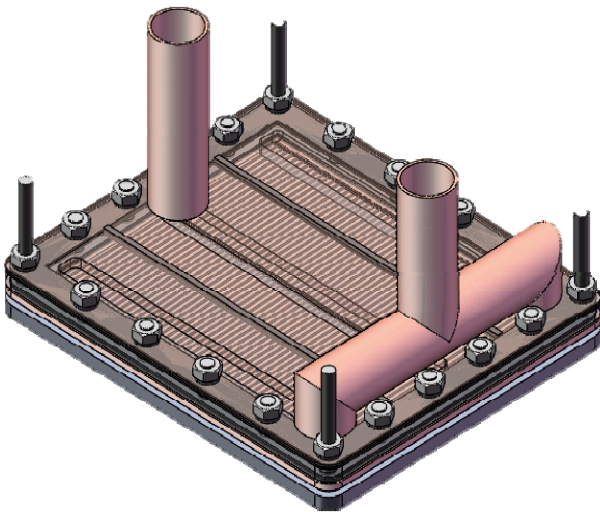
Для розрахунку теплообмінного блоку з радіатором з великим коефіцієнтом теплообміну (рис. 1,б) було запропоновано наступні розміри перетину потоку для води 1×80 мм при довжині 60 мм. При таких розмірах і витратах води, як і вище, швидкість потоку в проміжках між пластинами складає 1,875 м/с. Враховуючи ефективний діаметр $d_e = 1,98 \cdot 10^{-3} m$ одержимо число Рейнольдса $Re = wd_e/\nu = 6661$, що відповідає перехідному режиму протікання потоку. Розрахунок коефіцієнту теплообміну між теплоносієм та верхньою пластинкою радіатора дає $Nu = 13931 \text{ Вт}/(m^2 \cdot K)$. Зменшення відстані між пластинами до критичних, з точки зору в’язкості, 0,5 мм дозволяє збільшити швидкість потоку до 2,92 м/с, але при менших витратах рідини, оскільки зростає гідродинамічний опір і насос може забезпечити витрати на рівні 7 л/хв, що залишає потік в перехідному режимі протікання. При цьому $Nu = 18483 \text{ Вт}/(m^2 \cdot K)$.

На підставі проведених розрахунків було вдосконалено базову конструкцію плоского теплообмінника з введенням до нього мікроканалів для збільшення коефіцієнту теплообміну. Блок теплообмінника виконаний у вигляді закінченого вузла. На рис. 2 зображено конструкцію радіатора, який являє собою полу конструкцію. В цій конструкції передбачені колектуючі площини з трубками що подають (відводять) теплоносії, та ребра, що утворюють мікроканали для руху охолоджуючої рідини. Дно радіатора є основою для кріплення СБ, таким чином зменшується тепловий опір «поверхня – теплоносії».

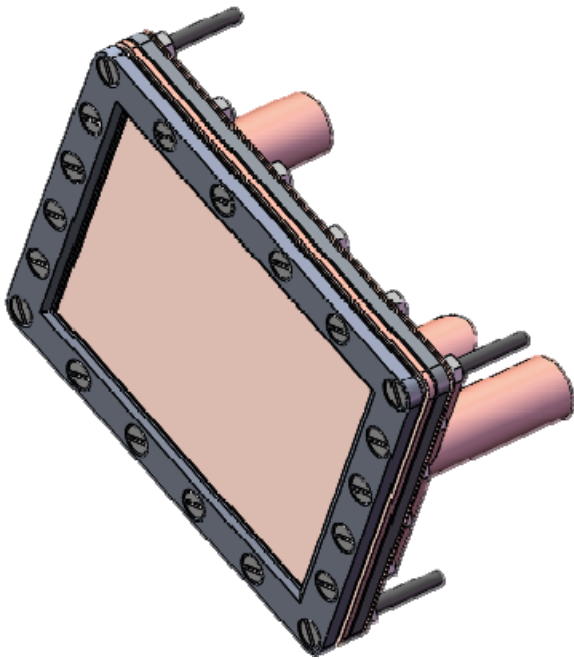
З урахуванням наведеної конструкції та теоретичного обґрунтування було проведено математичне моделювання роботи такого теплообмінника при різних швидкостях руху рідини. Основними критеріями для аналізу були рівномірність охолодження поверхні та її температура при надходженні зазначеної раніше кількості тепла. Відповідні теплові картини наведено на рис. 3.



a

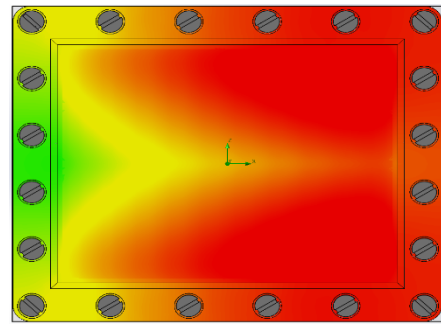


b

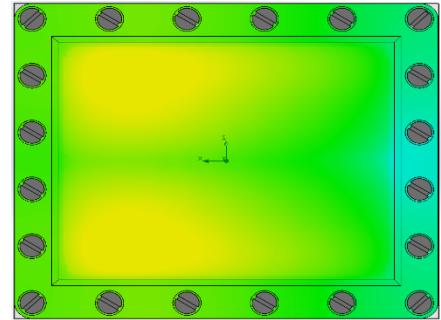


c

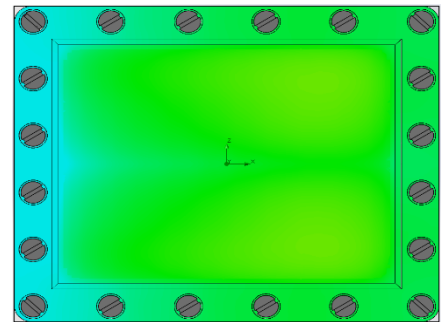
Рис. 2. Зображення плоского теплообмінника: загальне (*a*), поперечний переріз на мікроканали (*b*) та з боку теплообмінної площини (*c*)



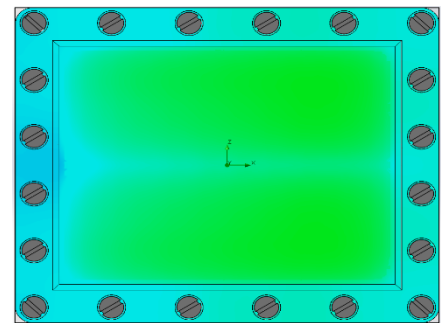
a



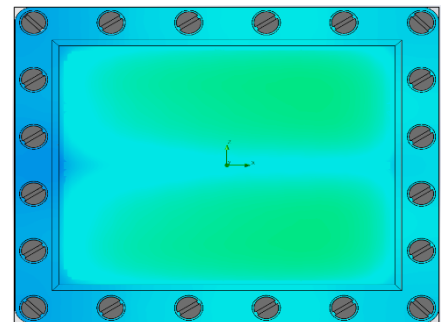
b



c



d



e

Рис. 3. Теплові карти теплообмінника при наступних умовах моделювання: *a* – $w = 0,1$ м/с, максимальна температура поверхні $T_{max} = 63,25$ °C; *b* – $w = 0,2$ м/с, $T_{max} = 48,27$ °C; *c* – $w = 0,3$ м/с, $T_{max} = 43,38$ °C; *d* – $w = 0,5$ м/с, $T_{max} = 39,18$ °C; *e* – $w = 1,0$ м/с, $T_{max} = 35,72$ °C

Аналіз наведених теплових картин дозволяє зробити висновок, що вже при швидкості протікання рідини 0,3 м/с для запропонованої конструкції теплообмінника досягається достатня рівномірність охолодження поверхні (рис. 3,с). При цьому максимальна температура не перевищує 43,5 °С, чого достатньо для ефективної роботи СБ без зменшення ККД. Поряд із цим, зменшення швидкості протікання рідини призводить до втрати рівномірності охолодження та до суттєвого зростання температури поверхні до більш ніж 60 °С, що є неприпустимим.

Також слід зазначити, що необхідні параметри теплообміну досягаються при швидкості протікання 0,3 м/с, що значно менше 2,92 м/с, котрі були отримані для класичного плоского теплообмінника. При цьому подальше підвищення швидкості протікання рідини не призводить до суттєво покращення рівномірності і зниження температури, однак буде потребувати додаткових витрат енергії на створення потоку.

Зменшення ефективного потоку рідини у порівнянні з класичним плоским теплообмінником свідчить про зростання коефіцієнту теплообміну. Таке можливо лише при переході від перехідного режиму протікання рідини у класичному плоскому теплообміннику до турбулентного режиму у запропонованій конструкції.

Для підтвердження зміни режиму протікання рідини було проведено математичне моделювання потоку рідини у каналах теплообмінника, картини яких наведено на рис. 4.

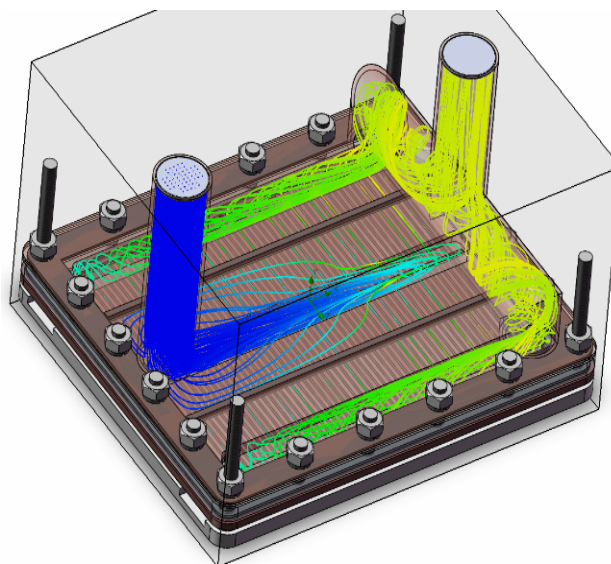
Аналіз потоку рідини підтвердив протікання у турбулентному режимі, який дає максимальний коефіцієнт теплопередачі, і, як наслідок, забезпечує досягнення рівномірності охолодження та низької температури при мінімальних затратах енергії на створення потоку рідини.

Висновки.

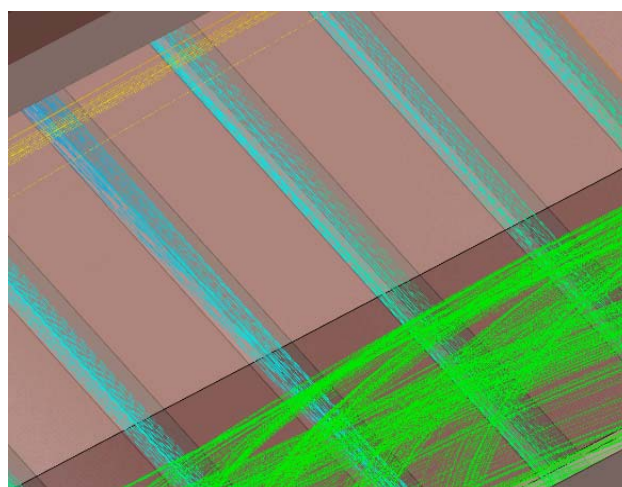
1. Проведено теоретичні розрахунки та моделювання теплообмінних процесів при перетворенні сонячної енергії в виготовленому теплообмінному блоці фотоенергетичної установки, які показали, що найбільш ефективним є плоский теплообмінник з реалізацією в ньому турбулентного потоку рідини, котрий дозволяє досягти коефіцієнту теплопередачі на рівні 18 кВт/(м²·К).

2. На підставі проведених розрахунків розроблено вдосконалений теплообмінний блок з мікроканалами та проведено уточнення вимог до технічних характеристик фотоенергетичної установки на його основі.

3. Аналітична апробація теплообмінника дозволила визначити, що при обраних параметрах фотоенергетичної установки, теплообмінний блок забезпечує стабільну робочу температуру на рівні менше 50 °С при цьому швидкість потоку теплоносія складає не більше 0,3 м/с. Зазначена температура є оптимальною для роботи сонячної батареї при мінімальних затратах енергії на створення потоку рідини.



a



b

Рис. 4. Зображення картин моделювання потоку рідини у теплообміннику в цілому (a) та у його мікроканалах (b)

СПИСОК ЛІТЕРАТУРИ

1. Jones A.D., Underwood C.P. A thermal model for photovoltaic systems // Solar Energy. – 2001. – vol.70. – iss.4. – pp. 349-359. doi: 10.1016/S0038-092X(00)00149-3.
2. Tuomiranta A., Marpu P., Munawwar S., Ghedira H. Validation of thermal models for photovoltaic cells under hot desert climates // Energy Procedia. – 2014. – vol.57. – pp. 136-143. doi: 10.1016/j.egypro.2014.10.017.
3. Розроблення фотоенергетичної установки на основі багатоперехідних кремнієвих сонячних елементів з вертикальними діодними комірками. Звіт про НДР (заключний; № держреєстрації 0111U007628) / Керівник Є. Сокол (Харків: НТУ «ХП», 2012).
4. Стребков Д.С. Матричные солнечные элементы: Монография в 3-х томах. Том 1. – М.: ГНУ ВИЭСХ, 2009 – 120 с.
5. Сокол Е.И., Копач В.Р., Зайцев Р.В. и др. Физико-технические особенности и предельные практические возможности фотоенергетического модуля нового поколения на территории Украины // Відновлювана енергетика. – 2011. – №2(25). – С. 18-28.
6. Reddy K.S., Premkumar D., Vikram T.S. Heat transfer modeling and analysis of solar thermo-chemical reactor for hydrogen production from water // Energy Procedia. – 2014. – vol.57. – pp. 570-579. doi: 10.1016/j.egypro.2014.10.211.

7. Steinfeld A. Solar thermochemical production of hydrogen – a review // *Solar Energy*. – 2005. – vol.78. – iss.5. – pp. 603-615. doi: 10.1016/j.solener.2003.12.012.
8. Modi A., Buhler F., Andreasen J.G., Haglind F. A review of solar energy based heat and power generation systems // *Renewable and Sustainable Energy Reviews*. – 2017. – vol.67. – pp. 1047-1064. doi: 10.1016/j.rser.2016.09.075.
9. Исаченко В.П., Осипов В.А., Сукомел А.С. Теплопередача. – М.: Энергоиздат, 1981. – 488 с.
10. Михеев М.А. Основы теплопередачи. М.-Л.: Госэнергоиздат, 1960. – 208 с.
11. Shokri R., Ghaemi S., Nobes D.S., Sanders R.S. Investigation of particle-laden turbulent pipe flow at high-Reynolds-number using particle image/tracking velocimetry (PIV/PTV). *International Journal of Multiphase Flow*. – 2017. – vol.89. – pp. 136-149. doi: 10.1016/j.ijmultiphaseflow.2016.06.023.
12. Shirvan K.M., Ellahi R., Mirzakhani S., Mamourian M. Enhancement of heat transfer and heat exchanger effectiveness in a double pipe heat exchanger filled with porous media: Numerical simulation and sensitivity analysis of turbulent fluid flow // *Applied Thermal Engineering*. – 2016. – vol.109. – part A. – pp. 761-774. doi: 10.1016/j.applthermaleng.2016.08.116.

REFERENCES

1. Jones A.D., Underwood C.P. A thermal model for photovoltaic systems. *Solar Energy*, 2001, vol.70, iss.4, pp. 349-359. doi: 10.1016/S0038-092X(00)00149-3.
2. Tuomiranta A., Marpu P., Munawwar S., Ghedira H. Validation of thermal models for photovoltaic cells under hot desert climates. *Energy Procedia*, 2014, vol.57, pp. 136-143. doi: 10.1016/j.egypro.2014.10.017.
3. Sokol E. *Rozroblennya fotoenerhetychnoyi ustanovky na osnovi bahatoperekhidnykh kremniyevykh sonyachnykh elementiv z vertykal'nymy diodnymi komirkamy. Zvit pro NDR (zaklyuchnyy; № derzhreystratsiyi 0111U007628)* [Development of the energy picture settings based on multijunction solar cells with silicon-governmental vertical diode cells. Report on R&D (final; state registration number 0111U007628)]. Kharkiv, NTU «KhPI», 2012. (Ukr).
4. Strebkov D.S. *Matrichnye solnechnye elementy: Monografija v 3-h tomah. Tom 1* [Matrix solar cells: Monograph in 3 volumes. Vol. 1]. Moscow, GNU VIESH Publ., 2009. 120 p. (Rus).
5. Sokol E.I., Kopach V.R., Zaitsev R.V. Physical and technical features and practical limits of the photonenergy module of the new generation on the territory of Ukraine. *Renewable energy*, 2011, no.2(25), pp. 18-28. (Rus).
6. Reddy K.S., Premkumar D., Vikram T.S. Heat transfer modeling and analysis of solar thermo-chemical reactor for hydrogen production from water. *Energy Procedia*, 2014, vol.57, pp. 570-579. doi: 10.1016/j.egypro.2014.10.211.
7. Steinfeld A. Solar thermochemical production of hydrogen – a review. *Solar Energy*, 2005, vol.78, iss.5, pp. 603-615. doi: 10.1016/j.solener.2003.12.012.
8. Modi A., Buhler F., Andreasen J.G., Haglind F. A review of solar energy based heat and power generation systems. *Renewable and Sustainable Energy Reviews*, 2017, vol.67, pp. 1047-1064. doi: 10.1016/j.rser.2016.09.075.
9. Isachenko V.P., Osipov V.A., Sukomel A.S. *Teploperedacha* [Heat transfer]. Moscow, Energoizdat Publ., 1981. 488 p. (Rus).
10. Mikheyev M.A. *Osnovy teploperedachi* [Fundamentals of heat transfer]. Moscow-Leningrad: Gosenergoizdat Publ., 1960. 208 p. (Rus).
11. Shokri R., Ghaemi S., Nobes D.S., Sanders R.S. Investigation of particle-laden turbulent pipe flow at high-Reynolds-number using particle image/tracking velocimetry (PIV/PTV). *International Journal of Multiphase Flow*, 2017, vol.89, pp. 136-149. doi: 10.1016/j.ijmultiphaseflow.2016.06.023.
12. Shirvan K.M., Ellahi R., Mirzakhani S., Mamourian M. Enhancement of heat transfer and heat exchanger effectiveness in a double pipe heat exchanger filled with porous media: Numerical simulation and sensitivity analysis of turbulent fluid flow. *Applied Thermal Engineering*, 2016, vol.109, Part A, pp. 761-774. doi: 10.1016/j.applthermaleng.2016.08.116.

Поступила (received) 21.01.2017

Зайцев Роман Валентинович, к.т.н., доц.,
 Національний технічний університет
 «Харківський політехнічний інститут»,
 61002, Харків, вул. Кирпичова, 2,
 тел/phone +38 068 8888246, e-mail: zaitsev.poman@gmail.com

R.V. Zaitsev
 National Technical University «Kharkiv Polytechnic Institute»,
 2, Kyrpychova Str., Kharkiv, 61002, Ukraine.
**Modeling of an advanced heat exchange unit
 with microchannels for a combined photoenergy system.**

Purpose. Mathematical modeling of the heat exchange unit main parameters for photoenergy system based on general models with forced circulation of heat transfer fluid. **Methodology.** To determine the coefficient of heat transfer at a given coolant temperature and surfaces temperature necessary to determine the temperature gradient in the wall of the heat exchanger. Temperature gradients can be determined by solving the equation of energy, which depends on the distribution of the flow rate in the flow. In general, a solution of convective heat transfer fluid to flow along the plane comes to solution of the system of differential equations. **Results.** In the paper features of the selection of theoretical basis and mathematical modeling of thermal processes in the heat exchange unit for combination photoenergy system are presented. As a result of the simulation conducted we improve and develop high-efficiency heat exchange unit with microchannels. Testing of the proposed unit proved its high efficiency through the implementation of turbulent flow of coolant with heat transfer coefficient at 18 kW/(m²·K). Analytical testing of the heat exchanger allowed showing that heat exchanger unit provides a stable operating temperature at less than 50 °C with the coolant flow rate is less than 0.3 m/s. **Originality.** Novelty of the proposed heat exchanger is in the optimal design of microchannels to improve the heat transfer coefficient. **Practical value.** The use of this heat exchanger will improve the quality and uniformity of cooling solar panels and reduce energy costs for circulation of fluid. References 12, figures 4. **Key words:** heat exchanger unit, coolant, solar panels, combined photoenergy system.